



مقاله پژوهشی

## فعالیت کانال کاتیونی ۹۳ پیکو سیمنسی میتوکندری مغز در موش‌های دیابتی دچار اختلال می‌گردد

بهاره رضایی<sup>۱</sup>، الهام نور صادقی<sup>۲</sup>، رضا صغیری<sup>۳</sup>، افسانه الیاسی<sup>۴\*</sup>

۱. مرکز تحقیقات نوروفیزیولوژی، دانشگاه علوم پزشکی شهید بهشتی، تهران

۲. مرکز تحقیقات علوم اعصاب، دانشگاه علوم پزشکی شهید بهشتی، تهران

۳. بخش بیوشیمی، انتستیتو پاستور ایران، تهران

۴. گروه فیزیولوژی و مرکز تحقیقات نوروفیزیولوژی، دانشکده پزشکی، دانشگاه علوم پزشکی شهید بهشتی، تهران

پذیرش: ۳۱ خرداد ۹۴

دریافت: ۱۷ خرداد ۹۴

### چکیده

**زمینه و هدف:** شواهدی مبنی بر اختلال عملکرد میتوکندری و تغییر در فعالیت کانال‌های پتانسیمی در شرایط دیابت موجود است. هدف از این مطالعه بررسی تغییرات رفتار بیوفیزیکی کانال کاتیونی ۹۳ پیکو سیمنسی در شرایط دیابت است.

**روش‌ها:** دیابت با تزریق تک دوز داخل صفاقی ۴۵mg/kg استرپتозوتوسمین حل شده در بافر سیترات M (۰/۱ pH ۴/۵) به موش‌های نر صحرایی نژاد ویستار (۲۰۰-۲۵۰ گرمی) القا شد. پس از استخراج غشاء داخلی میتوکندری مغز، وزیکول‌های حاوی غشاء داخلی میتوکندری به غشاء دولایه لبیدی الحقاق گردید و سپس خصوصیات الکتروفیزیولوژیک تک کانال کاتیونی مورد بررسی قرار گرفت. خلوص نمونه میتوکندری از طریق وسترن بلات تعیین گردید. جهت آنالیز داده‌ها از روش Marcov's noise free single channel analysis استفاده گردید.

**یافته‌ها:** براساس یافته‌های قبلی یکی از کانال‌های پتانسیمی غشاء داخلی میتوکندری دارای کندکتанс حدود ۹۳ پیکو سیمنس و حساس به ولتاژ در محدوده ولتاژ -۵-+۵ تا +۵ بود. مطالعه حاضر نشان داد کندکتанс کانال در شرایط دیابت به ۴۸ پیکو سیمنس کاهش یافته و منحنی جریان ولتاژ از حالت یکسوسازی به وضعیت اهمیک تغییر رفتار داد، اما در احتمال باز بودن کانال تغییری مشاهده نشد. وسترن بلات و استفاده از آنتی بدیهای اختصاصی علیه اندامکهای داخل سلولی نشان داد که نمونه استخراج شده فقط حاوی میتوکندری است.

**نتیجه‌گیری:** داده‌های ما نشان داد که خصوصیات بیوفیزیکی کانال پتانسیمی از جمله کندکتанс کانال در موش‌های مبتلا به دیابت بطور معناداری تغییر می‌یابد. بر این اساس پیشنهاد می‌شود کانال‌های پتانسیمی غشاء داخلی میتوکندری احتمالاً در بیماری دیابت درگیر بوده و می‌تواند به عنوان هدف در اتخاذ برنامه درمانی در نظر گرفته شوند.

**واژه‌های کلیدی:** بیماری دیابت، غشاء داخلی لبیدی، کانال پتانسیمی، میتوکندری

### مقدمه

میتوکندری یک اندامک سلولی قابل توجه با ویژگی‌های متعدد ساختاری و عملکردی است که منبع عمدۀ تولید انرژی سلول است. هم‌چنین میتوکندری دارای یک نقش اساسی در تنظیم عملکرد سلولی، متابولیسم و مرگ سلولی می‌باشد [۱].

\*نویسنده مسئول مکاتبات:  
af.eliaissi@sbmu.ac.ir  
وبگاه مجله:  
<http://ijpp.phypha.ir>  
پست الکترونیکی:  
ijpp@phypha.ir

در مطالعات اخیر، ما موفق به شناسایی کانال پتاسیمی جدیدی با کنداکتانس ۹۳ پیکوسیمنس در غشاء داخلی میتوکندری مغز شدیم [۸].

کانال‌های پتاسیمی میتوکندری در بسیاری از عملکردهای میتوکندری از جمله تولید انرژی، حفاظت سلولی و مرگ سلول [۱] نقش دارند. یافته‌هایی موجود هستند مبنی بر اینکه اختلال فعالیت کانال‌های  $K_{ATP}$  سلول‌های آلفا جزایر لانگرهانس می‌تواند منجر به اختلال در تنظیم گلوکز و ترشح گلوکاگون در دیابت نوع ۲ شود [۹]. با توجه به نقش کانال‌های پتاسیمی میتوکندری در تولید انرژی، هم چنین گزارش‌هایی حاکی از اختلال عملکرد میتوکندری در شرایط دیابت هدف از این مطالعه بررسی اثر دیابت بر روی خصوصیات بیوفیزیکی کانال پتاسیمی ۹۳ پیکوسیمنس غشاء داخلی میتوکندری مغز می‌باشد.

## مواد و روش‌ها

در این مطالعه از موش‌های نر نژاد Wistar با وزن تقریبی ۲۰۰–۲۵۰ گرم استفاده گردیده و در شرایط استاندارد دمایی ( $20\text{--}22^\circ\text{C}$ )، سیکل روشنایی / تاریکی ۱۲ ساعته با دسترسی آزاد به آب و غذا نگهداری می‌شدند. مطالعه حاضر پس از تایید هیات "اخلاق در تحقیق" دانشگاه علوم پزشکی شهید بهشتی به انجام رسید. تمام پروتکلهای آزمایشی مطابق با دستورالعملهای NIH (National Institutes of Health) درزمنینه مراقبت واستفاده از حیوانات بودند.

دیابت از طریق تزریق درون صفاقی ۴۵ میلی‌گرم به ازای هر کیلوگرم وزن بدن ازاستریوپتوزوتوسین (حل شده در سیترات بافر ۱/۰ مولار و pH ۴/۵) القا گردید [۱۰]. در روز صفر (قبل از تزریق) و روزهای ۷ و ۱۴ پس از تزریق استریپتوزوتوسین، خونگیری جهت تعیین غلظت ناشتای گلوکز و انسولین سرم انجام گرفت. در صورت بالاتر بودن گلوکز سرم از ۲۵۰ میلی‌گرم در دسی لیتر حیوانات دیابتی و در صورتی که میزان انسولین سرم کاهش پیدا نکرده باشد حیوانات به عنوان دیابت نوع ۲ انتخاب می‌شدند. کلرید پتاسیم، دیژیتونین، سوکروز، D-مانیتول، بیکربنات سدیم، هیپس، تریس اسیدی و بازی، سرم آلبومین گاوی (BSA)، STZ (4-آمینوپیریدین EGTA، ۴-AP)، ناکارز از شرکت سیگما و کاغذ نیترو سلولز، Amersham و کیت لومینسانس (ECL-kit) از شرکت

شواهدی مبنی بر اختلال عملکرد میتوکندری در هایپر گلیسمی و مقاومت به انسولین موجود است [۲]. برای مثال، تراکم میتوکندری سلول در شرایط دیابت کاهش می‌یابد، علاوه بر این، در شرایط گلوکز بالا گونه‌های اکسیژن فعال (Reactive Oxygen Species) افزایش یافته که به نوبه خود در تغییرات عملکرد میتوکندری نقش اساسی دارد [۳]. اگر چه بسیاری از مکانیسم‌های سلولی که بواسطه دیابت آسیب دیده اند هنوز بطور کامل بررسی نگردیده است اما به خوبی ثابت شده یکی از مسیرهای بروز عوارض دیابتی منتج از اثرات این بیماری بر عملکرد کانال‌های یونی غشاء سلول و یا ارگانلهای درون سلولی می‌باشد. برای مثال کاهش جریان پتاسیم درسطح سارکولم و غشاها درون سلولی سبب تغییرات فعالیت الکتریکی میوکارد و ضعف مکانیسم‌های حفاظت قلبی در طی دیابت می‌گردد [۴]. گزارشات جالبی نیز در سطح غشاها درون سلولی وجود دارد که نشان می‌دهند افزایش در فعالیتهای اکسیداتیو سلولی بدنیال مقاومت به انسولین در موشهای دیابتی سبب مهار فعالیت کانال‌های پتاسیمی حساس به ATP میتوکندریایی (mitoK<sub>ATP</sub>) می‌گردد [۵].

به نظر می‌رسد کانال‌های پتاسیمی میتوکندری در تنظیم پتانسیل غشاء میتوکندری، تنفس و حجم ماتریکس میتوکندری نقش دارند [۱]. انواع متعددی از کانال‌های پتاسیمی موجود در غشاء پلاسمایی در غشاء داخلی میتوکندری نیز دیده شده‌اند مانند کانال پتاسیمی حساس به کلسیم با کنداکتانس بالا، (mitoBK<sub>Ca</sub>, mitoIK<sub>Ca</sub>, mitoSK<sub>Ca</sub>) و کانال‌های متوسط و پایین (mitoKv1.3) و کانال‌های پتاسیمی وابسته به ولتاژ (TASK-3) [۱]. علاوه بر این، آزمایشگاه ما نیز در مطالعات اخیر خود با استفاده از تکنیک الحقق کانال به غشا دو لایه لیپیدی حضور دو نوع کانال mitoBK<sub>Ca</sub> با کنداکتانس‌های ۵۶۵ و ۲۱۱ پیکوسیمنس را در غشاء داخلی میتوکندری مغز نشان داد که به ترتیب توسط ATP و ChTx (Charybdotoxin) مهار [۶] و دیگری تنها به IbTx (Iberiotoxin) [۷] حساس بود. مطالعات ما نشان داد کانال mitoBK<sub>Ca</sub> غیر حساس به ATP و ChTx در شرایط دیابت بشدت غیر فعال شده و بیان زیر واحدهای  $\alpha$  و  $\beta$  ساختار کانال بطور معنی داری کاهش می‌یابد [۳]. هم چنین

جهت الکتروفورز SDS-PAGE استفاده می شد [۱۳]. پروتئین ها بر اساس وزن مولکولی جدا و با استفاده از بلاط کردن به روش نیمه مرتبط بر روی غشاء نیتروسلولزی منتقل شده و پس از انتقال، جهت پیشگیری از اتصال آنتی بادی ها به نواحی غیراختصاصی، غشاءها در ظرف حاوی بافر بلاکینگ (شیر خشک، گلیسرول و TBS) تا روز بعد، در دمای ۴°C غوطه ور می شدند. پس از آن کاغذها به مدت دو ساعت در مجاورت آنتی بادی های اولیه شامل: آنتی بادی Actin، Cox1 و Calnexin Golgi Marker قرار داده شدند.

جهت انجام ثبت از فعالیت تک کانال از روش الحق کانال BLM (Bilayer Lipid Membrane) استفاده گردید [۱۴]. در این روش وزیکول های استخراج شده غشاء داخلی میتوکندری توسط سوزن استیل با غشاء دولایه لیپیدی جهت الحق کانال تماس داده می شد. ولتاژ در محفظه سیس (سطح سیتوپلاسمی) اعمال و محفظه ترانس (سطح لومنی) گراند می شد. جریان عبوری از تک کانال توسط آمپلی فایر 525DBC (شرکت Warner) اندازه گیری می گردید. تمام ثبتهادر ۱kHz بالاستفاده از یک فیلتر ۴ پل بسل فیلتر شده و با سرعت نمونه برداری kHz ۱۰ توسط دستگاه ثبت به کامپیوتر منتقل و ذخیره می شد. جهت آنالیز از روش Clampfit10 و نرم افزار Marcov's noise free (شرکت Axon) استفاده گردید.

## یافته ها

تأثید القای مدل دیابتی نوع ۲: طی دو هفته بعد از تزریق استرپتوزوتوسین، غلظت گلوكز ناشتا و انسولین در روزهای صفر (قبل از تزریق استرپتوزوتوسین)، ۷ و ۱۴ بعد از تزریق استرپتوزوتوسین اندازه گیری شد. برای مقایسه بین روز ۷ و ۱۴ با روز صفر از آزمون آماری repeated one-way ANOVA (با تست تعقیبی Dunnet) استفاده شد. همانطور که در نمودار ۱ مشاهده می شود نتایج غلظت ناشتا گلوكز تفاوت معنی داری را در روزهای ۷ و ۱۴ ( $p < 0.001$ ) نسبت به روز صفر نشان داد در حالیکه نتایج غلظت انسولین نشان داد تفاوت معنی داری در روزهای ۷ و ۱۴ با روز صفر وجود ندارد. این نتایج تأیید کننده دیابت نوع ۲ با غلظت گلوكز بالای mg/dl ۲۵۰ و غلظت انسولین در محدوده طبیعی است.

بدنبال تأثید مدل دیابتی و استخراج غشاء داخلی

n- دکان از شرکت مرک و آنتی بادی ها از شرکت سانتا کروز خریداری شدند.

حیوانات، ۱۶-۱۸ ساعت قبل از جداسازی کبد ناشتا نگه داشته می شدند. نمونه های میتوکندری مورد استفاده به روش Kudin و همکارانش استخراج گردید [۱۱]. پس از بیهوشی دو موش صحرایی با کلروفرم و بریدن سر، بلافالصله مغز حیوانات خارج می شد. مغزها به محلول سرد (MSE) Mannitol Sucrose EGTA متنقل و چندین مرتبه شسته می شدند. سپس ۱۰ میلی لیتر محلول Naگارز به آن ها اضافه کرده و با هموژنايزر الکتریکی با دور ۶۰۰ واحد بر ثانیه (unit/s) هموژنیزه شدند. در ادامه ۲۰ میلی لیتر دیگر از محلول MSE به آن اضافه شد. (مرحله ۱ وسترن بلاط) و به مدت ۴ دقیقه با دور g × ۲۰۰۰ سانتریفیوژ گردیدند. بعد از سانتریفیوژ، محلول رویی را برداشته و به مدت ۹ دقیقه در g × ۱۲۰۰۰ سانتریفیوژ گردیدند. برای به دست آوردن سیناپتوزومها، رسوب حاصل را در ۱۰ میلی لیتر از محلول MSE-دیژیتونین سرد حل نموده (مرحله ۲) و محلول به ظرف هموژنیزه کننده منتقل و ۸-۱۰ مرتبه به طور دستی هموژنیزه گردید تا سوسپانسیون همگنی به دست آید. سرانجام سوسپانسیون به مدت ۱۱ دقیقه در g × ۱۲۰۰۰ سانتریفیوژ و وزیکولهای حاصل در ۳۰۰ μl محلول MSE حل شد (مرحله ۳) تا غلظت حدود ۲۰mg/ml پروتئین به دست آید.

برای جداسازی غشاء داخلی میتوکندری از روش DaCruz و همکاران استفاده شد [۱۲]. بدین صورت که میتوکندری ها در غلظت ۵mg/ml در آب مقطمر سوسپانسیون شده و به مدت ۲۰ دقیقه روی یخ تکان داده شدند. سپس این ترکیب ۲۰ مرتبه بوسیله هموژنايزر دستی هموژنیزه و دوبار هر کدام ۵ دقیقه در g × ۱۲۰۰۰ سانتریفیوژ گردید. میتوپلاستهای به دست آمده به همراه بیکربنات سدیم ۱٪ مولار (pH ۱۱/۵) در غلظت نهایی ۰/۵mg/ml به مدت ۲۰ دقیقه روی یخ تیمار گردیدند. سرانجام محلول به مدت ۳۵ دقیقه در g × ۱۰۰۰۰ سانتریفیوژ شده و غشاء داخلی میتوکندری به صورت ویزیکول (مرحله ۴) بدست آمد. نمونه ها جهت بررسی وسترن بلاط و الکتروفیزیولوژی در دمای ۷۰- درجه سانتی گراد نگهداری گردیدند.

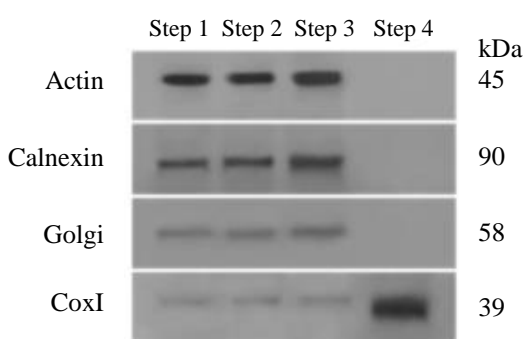
جهت انجام کار مولکولی، غلظت پروتئین نمونه ها با استفاده از تکنیک برادفورد تعیین و مقدار یکسانی از هر نمونه

نمی شد. این در حالی است که در پتانسیل های مثبت تر از پتانسیل معکوس جریان رو به خارج (outward) و در پتانسیل های متفاوت از پتانسیل معکوس جریان رو داخل (inward) ظاهر می شد. کanal در ولتاژ های مثبت و منفی باز و بسته شدن های سریع (flickering) نشان می داد. شکل ۲B رابطه جریان- ولتاژ کanal را در شرایط دیابت نشان می دهد. رابطه جریان- ولتاژ در محدوده ولتاژی  $+40\text{ mV}$  تا  $-60\text{ mV}$  خطی بوده و هیچ گونه یکسو سازی نشان نمی دهد. شب منحنی که نشانده بودی کنداکتانس کanal است در ولتاژ های منفی برابر با  $48\text{ pS}$  بود. هم چنین بر اساس شکل پتانسیل معکوس (reverse potential) برای وضعیت هدایتی کanal ~ $-25$  میلی ولت بود.

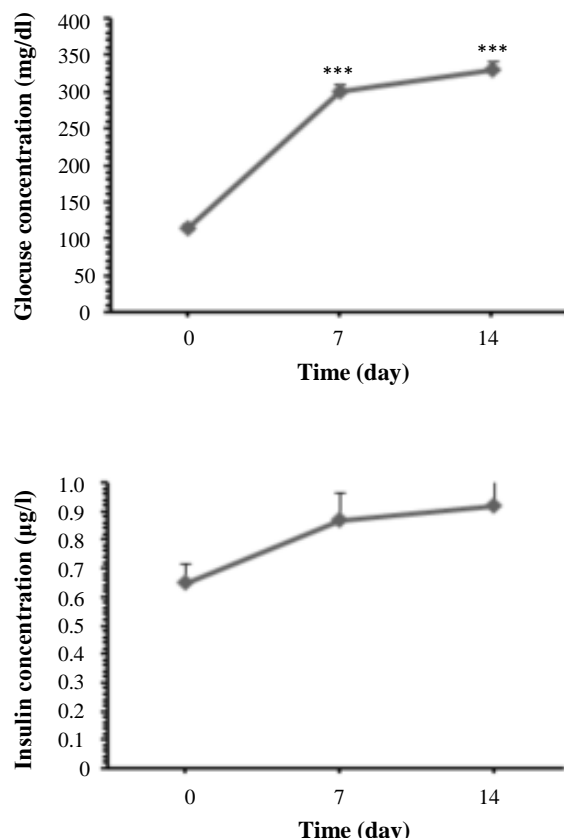
بر اساس معادله گولدمن-هوچکین-کتز =  $E_m = \frac{RT}{F} \ln \frac{P_k[K]_o + P_{Cl}[Cl]_i}{P_k[K]_i + P_{Cl}[Cl]_o}$ ، نسبت نفوذپذیری کanal در مورد یون‌های پتاسیم به کلر بالاتر از ۲۵ ( $P_K/P_{Cl} > 25$ ) بود. بنابراین، می‌توان بیان نمود که کanal برای عبور کاتیون انتخابی، بوده و یک کانا<sub>n</sub>ا، کاتیونی، است.

اثر ولتاژ بر روی ویژگی های باز و بسته شدن کانال با اندازه گیری احتمال باز بودن کانال (Po) در ولتاژهای مختلف مورد بررسی قرار گرفت. احتمال باز بودن کانال در شرایط دیابت در محدوده ولتاژی  $mV +50$  تا  $-60$ ، تقریباً  $1/6$  بوده و کانال در این محدوده ولتاژی به صورت غیر وابسته به ولتاژ عملاً می کند (حدو، ۱).

۴-AP داروی اثر فارماکولوژی بررسی در (۴) کانال غیر انتخابی مهارکننده عناوون به (آمینوپیریدین)



**شکل ۱-۱** تئیین خلوص میتوکندری با استفاده از وسترن بلات. کاغذها با آنتی بادی های اختصاصی مجاور شد. آنتی بادی های نشانگر غشاء پلاسمائی (۴۵ kDa)، Actin، گلزی (Golgi)، شبکه انودولپلاسمی (۵۸ kDa)، Calnexin (۹۰ kDa) و نشانگر غشاء داخلی میتوکندری (Cox1 (۳۹ kDa) مورد استفاده قرار گرفت. مراحل ۱ تا ۴ نشاندهندۀ مراحل مختلف استخراج میتوکندری می باشد که در قسمت روش ها توضیح داده اند.



**نمودار ۱- غلظت گلوکز ناشتا و انسولین در روزهای صفر (قیل تزریق استرپتوزوتوسین)، ۷ و ۱۴ بعد از تزریق STZ.** داده ها به صورت میانگین ± انحراف معيار مربوط به  $n = 18$  نشان داده شده اند. آزمون آماری One-Way ANOVA افرایش معنی داری را در غلظت گلوکز ناشتا در روز ۷ و ۱۴ بعد از تزریق STZ نسبت به روز صفر نشان می دهد. \*\*\*:  $p < 0.001$ : تفاوت معنی دار نیست به روز صفر.

میتوکندری مغز دیابتی، با استفاده روش وسترن بلاط و آنتی بادی های نشانگر غشاء پلاسمائی و غشاهای درون سلولی، خلوص نمونه های میتوکندری مورد ارزیابی قرار گرفت (شکل ۱). نتایج حاصله نشان داد که نمونه میتوکندری فاقد پروتئین های موجود در اندامک های دیگر و غشاء پلاسمائی مم، بانشد.

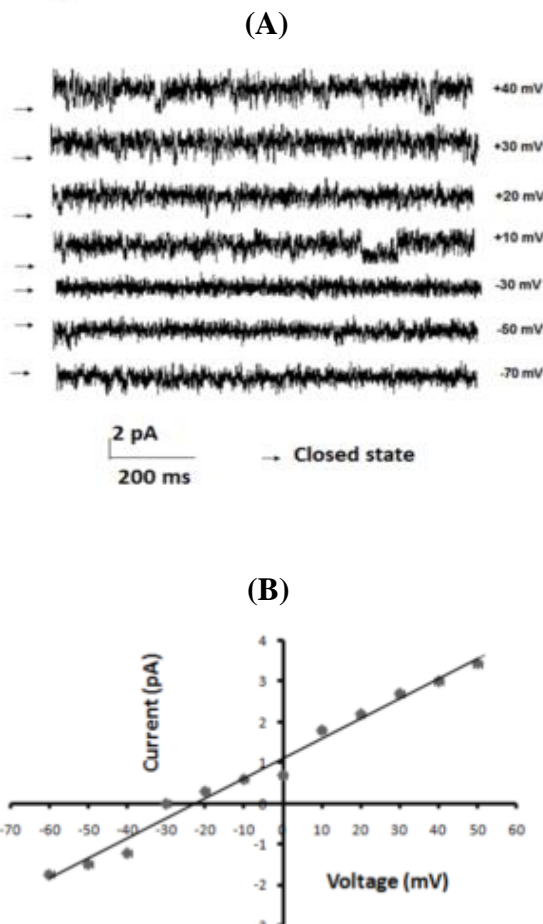
خصوصیات بیوفیزیکی تک کانال pS ۹۳ در شرایط دیابت: فعالیت کانال بعد از الحق و زیکول های غشاء داخلی میتوکندری به غشاء دو لایه لیپیدی در محیط غیرهمگن کلریدپتانسیم ۵۰ mM کلریدپتانسیم در فضای ترانس و ۲۰۰ mM کلریدپتانسیم در فضای سیس) ثبت گردید. شکل ۲A جریان های ثبت شده کانال را در ولتاژ های مختلف غشاء نشان می دهد. در پتانسیل معکوس که گرادیان های شیمیائی و الکتریکی همدیگر را خنثی می کنند هیچ گونه جریان، مشاهده

میزان جریان، احتمال باز بودن و رابطه جریان- ولتاژ کانال در دو گروه کنترل و دیابتی در ولتاژهای مختلف و با استفاده از آزمون آماری t-test مورد بررسی قرار گرفت. شکل ۴A جریان های ثبت شده از کانال را در مoshهای صحرایی دیابتی و moshهای سالم در ولتاژ  $+30\text{ mV}$  و  $-50\text{ mV}$ - نشان می دهد. همانطور که در شکل ۴B نشان داده شده است میزان جریان در گروه دیابتی در مقایسه با گروه کنترل، کاهش نشان می دهد. بطوریکه در ولتاژ  $+30\text{ mV}$  دامنه جریان در گروه کنترل  $0.91 \pm 0.02\text{ pA}$  بوده در حالیکه در گروه دیابتی جریان به  $0.32 \pm 0.01\text{ pA}$  کاهش معنادار یافته است ( $p < 0.01$ ). همچنین، در ولتاژ  $-50\text{ mV}$ - در گروه کنترل دامنه جریان از  $0.46 \pm 0.02\text{ pA}$  به  $0.27 \pm 0.01\text{ pA}$  کاهش یافته است ( $p < 0.01$ ). درمورد مدت زمان باز بودن کانال در دو گروه تغییر معناداری مشاهده نشد.

رابطه جریان- ولتاژ کانال(شکل ۴C) در محدوده ولتاژی  $+50\text{ mV}$  تا  $-60\text{ mV}$ - نشان دهنده یکسوسازی در گروه کنترل است در حالیکه در گروه دیابتی رفتار اهمیک است و هیچ گونه یکسوسازی را نشان نمی دهد. شب منحنی که نشان دهنده کنداکتانس کانال است در گروه کنترل برابر با  $46\text{ pS}$  را  $93 \pm 5$  بوده، در حالی که در گروه دیابتی مقدار  $46\text{ pS}$  را نشان می دهد.

جدول ۱- میانگین احتمال باز بودن کانال در ولتاژهای مختلف در شرایط کنترل و دیابت

Voltage (mV)	Control open probability (Po)	Diabetes open probability (Po)
+50	$0.63 \pm 0.03$	$0.6 \pm 0.03$
+40	$0.62 \pm 0.03$	$0.63 \pm 0.01$
+30	$0.64 \pm 0.02$	$0.63 \pm 0.03$
+20	$0.63 \pm 0.01$	$0.61 \pm 0.03$
+10	$0.62 \pm 0.01$	$0.62 \pm 0.01$
0	$0.62 \pm 0.02$	$0.62 \pm 0.01$
-10	$0.62 \pm 0.03$	$0.65 \pm 0.02$
-20	$0.64 \pm 0.01$	$0.62 \pm 0.03$
-30	-----	-----
-40	$0.62 \pm 0.05$	$0.63 \pm 0.01$
-50	$0.62 \pm 0.03$	$0.63 \pm 0.02$



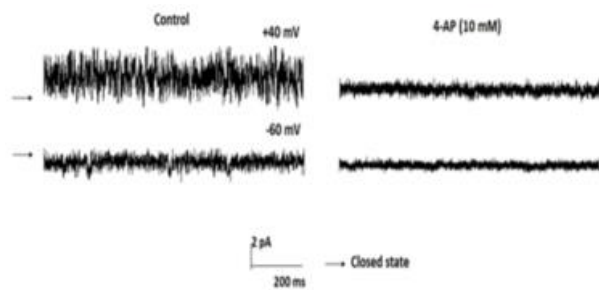
شکل ۲- ثبت تک کانال و منحنی  $93 \text{ pS}$  در ولتاژهای مختلف. A- ثبت از فعالیت تک کانال در شرایط  $50\text{ mM}$  کلریدپاتاسیم در فضای تراس و  $200\text{ mM}$  کلریدپاتاسیم در فضای سیسنجام شد. تعداد جریانهای ثبت شده بسته به میزان نویز پایه به صورت offline به مقدار  $700\text{-}900\text{ Hz}$  فیلتر شده اند. B- منحنی رابطه جریان- ولتاژ کانال پاتاسیمی حساس به  $4\text{-}AP$  در شرایط  $50\text{ mM}$  کلریدپاتاسیم در فضای تراس و  $200\text{ mM}$  کلریدپاتاسیم در فضای سیسنجام شد. نقاط، میانگین  $\pm$  انحراف معیار مربوط به  $n = 3$  را در هر ولتاژ نشان می دهد. منحنی، ارتباط اهمیک (خطی) را نشان داد. شب خط، کنداکتانس  $46\text{ pS}$  را نشان می دهد.

پاتاسیمی بروی فعالیت کانال مورد بررسی قرار گرفت. شکل ۳ اثر اضافه کردن  $4\text{-}آمینوپیریدین$  با غلظت  $10\text{ mM}$  در محفظه سپس را بر روی فعالیت کانال در دو ولتاژ  $+40\text{ mV}$  و  $-60\text{ mV}$ - نشان می دهد. قبل از اضافه کردن  $4\text{-}آمینوپیریدین$  میزان جریان در ولتاژ  $+40\text{ mV}$ ،  $0.51 \pm 0.02$  و احتمال باز بودن کانال  $0.66 \pm 0.01$  و برای ولتاژ  $-60\text{ mV}$ - میزان جریان  $0.79 \pm 0.01\text{ pA}$  و احتمال باز بودن کانال  $0.62 \pm 0.01$  بود و پس از اضافه کردن  $4\text{-}آمینوپیریدین$  فعالیت کانال بطور کامل مهار گردید.

جهت بررسی تغییرات احتمالی در رفتار بیوفیزیکی کانال،

های کانال های پتاسیمی وابسته به کلسیم روی آن اثری نداشت. در مطالعه حاضر، ما نشان دادیم اضافه کردن 4-AP سبب مهار کانال می گردد (شکل ۴). در حالیکه IbTx و ATP بر روی آن اثری نداشت (اطلاعات نشان داده نشده است). بنابر این، کانال الحق شده به غشا که از غشاء داخلی میتوکندری مغز موشهای دیابتی استخراج گردیده است همان کانال کاتیونی حساس به 4-AP است که قبل از تحریر شرایط کنترل مورد مطالعه قرار گرفته بود. نکته حائز اهمیت آن است که نتایج ما اشاره به اختلافات معنی دار در کنداکتسنس کانال بین کانال های بدست آمده از غشا دیابتیک و کنترل می کند.

این نتایج برای اولین بار نشان داد جریان یونی در شرایط دیابت اولیه به میزان ۵۰٪ در مقایسه با شرایط کنترل کاهش یافته است (کاهش از ۹۳ pS در شرایط کنترل به ۴۸ pS در شرایط دیابت). این رفتار میتواند ناشی از یک مکانیزم مهار جزئی ناشی از افزایش گلوکز خون بدليل تغییرات در ساختمان کانال باشد [۳]. نتایج مشابهی توسط Li و همکاران (۲۰۱۱) نشان داده شد و حاکی از کاهش جریان از کانال های BK<sub>Ca</sub> نشان داده شد [۱۶]. این نتایج و نتایج حاصل از مطالعات Lu و همکاران (۲۰۰۸) [۱۷] پیشنهاد می کند که تغییرات بیوفیزیکی مشاهده شده در رفتار کانال حاصل از دیابت احتمالاً ناشی از افزایش سدهای انرژی برای فعال شدن کانال بوده و می تواند در عملکرد ضعیف یک ارگان نقش داشته باشد. جالب است ذکر گردد این تغییرات رفتاری می تواند حاصل تغییرات در ساختمان و میزان بیان زیر واحدهای تشکیل دهنده کانال باشد. شواهدی حاکی از آن است که کاهش جریان و احتمال باز بودن کانال BK<sub>Ca</sub> عروق در شرایط دیابت ممکن است حاصل کاهش بیان زیر واحد  $\beta 1$  در ساختمان کانال باشد [۱۸]. مطالعات اخیر ما mitoBK<sub>Ca</sub> نیز نشان داد که بیان زیر واحدهای  $\beta 4$  و  $\alpha$  کانال غز در شرایط دیابت کاهش یافته و احتمالاً مسئول تغییر رفتار کیتیکی کانال می باشد [۳]. این نکته را نیز باید در نظر داشت که زیر واحدهای ساختمانی کانال ها می توانند هدف فرایندهای اکسیداتیو ناشی گلوکز خون باشد [۳]. با توجه به اینکه هنوز ساختمان این کانال شناسایی نگردیده در ابتدا نیاز است ساختمان مولکولی آن در شرایط کنترل مورد مطالعه قرار گرفته و سپس اثر گلوکز و یا دیابت بر روی بیان زیر واحدهای ساختمانی آن بررسی گردد.

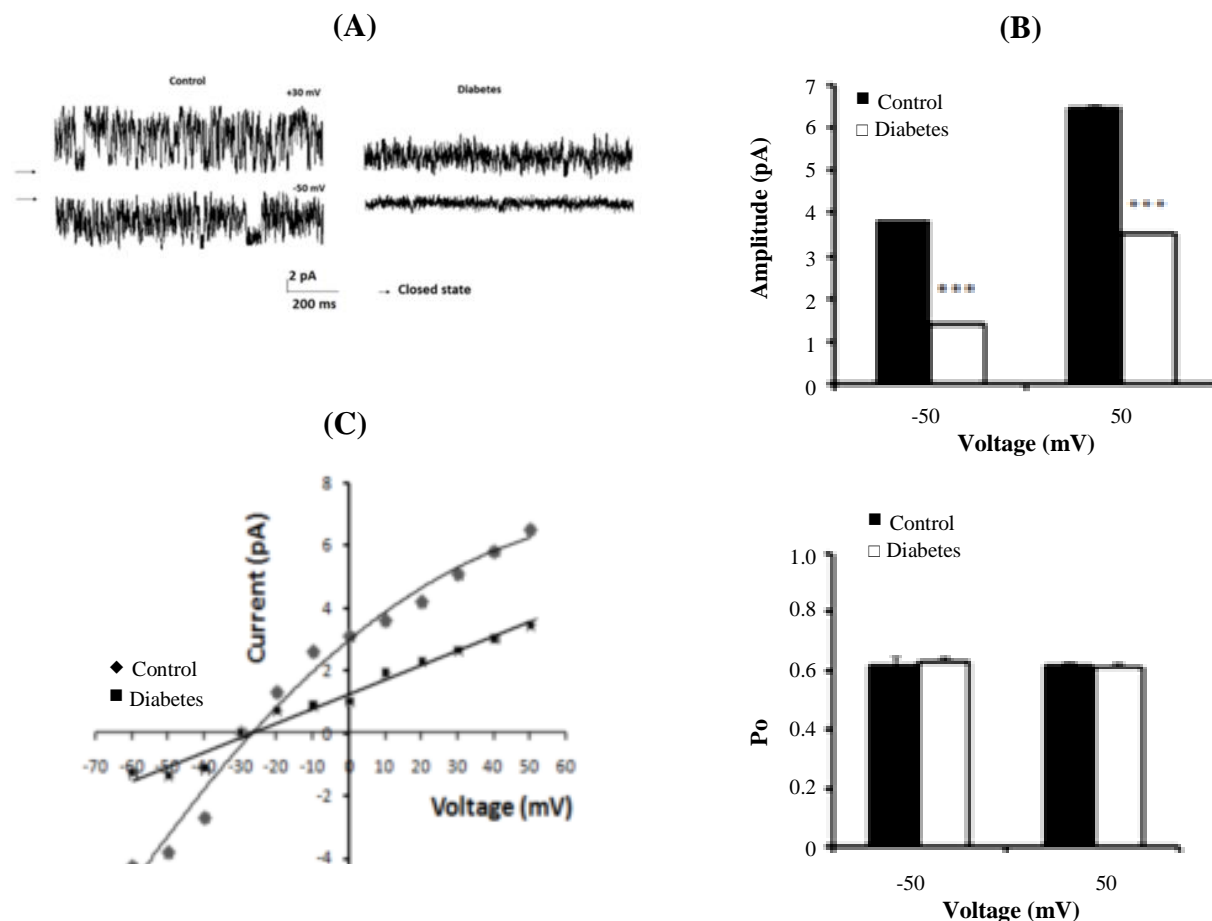


شکل ۳- اثر 4-AP بر فعالیت تک کانال حساس به ۴-AP در ولتاژهای +۰ mV و -۶۰ mV. بیت از فعالیت کانال در +۴۰ mV (در شرایط ۵۰ mM کلریدپتاسیم در فضای ترانس و ۲۰۰ mM ۴-آمینوپیریدین با غلظت ۱۰ mM به فضای سیس) قبل و بعد از اضافه کردن ۴-آمینوپیریدین به طور کامل فعالیت کانال را مهار می کرد (n = ۳).

## بحث

دیابت از شایعترین و سخت ترین بیماری های متابولیک است که با اجزای سازنده سلول مانند میتوکندری دارای تعامل می باشد. برای مثال، مطالعات نشان داده اند که تولید بیش از حد گونه های فعال اکسیژن (ROS) توسط میتوکندری باعث آسیب سلول های بتای پانکراتیک به صورت آپوپتوز و کاهش عملکرد طبیعی آنها می شود [۱۵]. همچنین مطالعات نشان می دهند دیابت سبب کاهش تعداد میتوکندری می گردد و این کاهش نیز احتمالاً ناشی از تولید ROS در شرایط گلوکز بالا است [۳]. علی رغم مطالعاتی که در این خصوص صورت گرفته است هنوز مکانیزم های سلولی در گیر در این بیماری به خوبی شناسایی نشده اند. مطالعات اخیر ما و دیگران حضور چند کانال پتاسیمی در غشا داخلی میتوکندری مغز با کمک تکنیک الحق کانال به داخل غشا دو لایه لیپیدی نشان داد که شامل: ۱) کانال BK<sub>ATP</sub> [۲۹، ۹] mitoBK<sub>ATP</sub> کانال BK<sub>Ca</sub> غیر حساس به ATP و کانال کاتیونی حساس به 4-AP [۸] می باشند. مطالعه حاضر رفتار کانال کاتیونی حساس به 4-AP را در شرایط دیابت مورد مقایسه با رفتار آن در شرایط سلامت قرار داد.

مطالعات قبلی ما بر روی نمونه های جدا شده از غشاء داخلی میتوکندری مغز موش در شرایط کنترل، حضور کانال کاتیونی با کنداکتسنس pS ۹۳ را نشان داد. نحوه باز و بسته شدن کانال وابسته به ولتاژ نبود و تغییرات ولتاژ احتمال باز بودن کانال را تغییر نمی داد. هم چنین، تنها 4-AP سبب مهار کانال می گشت و ATP به عنوان مهار کننده کانال K<sub>ATP</sub> [۸] و هم چنین IbTx به عنوان مهار کننده ChTx



شکل ۴- مقایسه فعالیت تک کانال حساس به AP-4 با کنداكتانس  $93 \text{ pS}$  در ولتاژهای  $+30 \text{ mV}$  و  $-50 \text{ mV}$ - در گروه کنترل و دیابت. A- ثبت از فعالیت تک کانال در ولتاژهای  $+30 \text{ mV}$  و  $-50 \text{ mV}$ - در گروه کنترل و دیابت در شرایط  $200 \text{ mM} \text{ KCl}-\text{پتاسیم در فضای ترانس و } 200 \text{ mM} \text{ KCl}-\text{پتاسیم در فضای سیس انجام شد. جریان های ثبت شده بسته به میزان نویز پایه به صورت offline به مقدار  $700-900 \text{ Hz}$  فیلتر شده اند. وضعیت بسته کانال را نشان می دهد. B- مقایسه میانگین میزان جریان و احتمال باز بودن کانال در گروه دیابت و کنترل در ولتاژهای  $+50 \text{ mV}$  و  $-50 \text{ mV}$ . داده ها به صورت  $\text{Mean} \pm \text{SEM}$  نشان داده شده است ( $n = 3$ ). آزمون unpaired t-test نشان داده است که کاهش معناداری در دامنه جریان در تمامی ولتاژها وجود دارد. اما احتمال بازبودن کانال تغییری نزدیک است. C- منحنی رابطه جریان-ولتاژ کانال در گروه کنترل و دیابت در شرایط  $200 \text{ mM} \text{ KCl}-\text{پتاسیم در فضای ترانس و } 200 \text{ mM} \text{ KCl}-\text{پتاسیم در فضای سیس. نقاط، میانگین } \pm \text{ انحراف میانگین مربوط به } n=3 \text{ را در هر ولتاژ نشان می دهد. در گروه دیابت در محدوده ولتاژی } -60 \text{ mV} \text{ تا } +50 \text{ mV} \text{ تا } 0.001 < p \text{ : تفاوت معنی دار نسبت به گروه کنترل.}$$

## نتیجه‌گیری

یافته‌های مطالعه حاضر نشان داد که در دیابت اولیه، فعالیت تک کانال کاتیونی غشاء داخلی میتوکندری کاهش یافته و عملکرد کانال دستخوش تغییر شده است. این تغییر احتمالاً نه تنها با کاهش تعداد کانال بلکه بدلیل اختلال در کینتیک کانال‌ها همراه شده و کاهش کنداكتانس را بدنبال داشته است. از آنجائی که دستیابی به عملکرد کانال مستلزم یافتن دانش ساختاری و ویژگی‌های رفتاری کانال می‌باشد به نظر می‌رسد نتایج فوق میتواند درک بهتری از مکانیسم‌های دخیل در عدم کارکرد صحیح میتوکندری و پاتوژنر بیماری دیابت داشته باشد.

تغییر در خصوصیات بیوفیزیکی کانال‌های میتوکندری می‌تواند باعث تغییر در عملکرد کلی میتوکندری شود چرا که مطالعات نشان می‌دهند باز شدن کانال  $\text{BK}_{\text{Ca}}$  میتوکندری مغز می‌تواند سبب مهار تولید ROS توسط کمپلکس یک زنجیره تنفسی شود، که این اثر برای بقای عصبی بسیار سودمند است [۱۹]. هم چنین گزارش‌ها حاکی از آن است که باز شدن کانال  $\text{mitoK}_{\text{ATP}}$  باعث افزایش اکسیداسیون فلاؤوپروتئین‌ها در میتوکندری می‌شود [۲۰]. بنابراین، کاهش فعالیت مشاهده شده در رفتار کانال در شرایط دیابت می‌تواند بیان کننده‌ی اختلال در عملکرد میتوکندری و یا به عکس باشد.

## سهم نویسندها

ب.ر: انجام مطالعه و نگارش مقاله؛ ا.ن: انجام مطالعه و نگارش مقاله؛ ر.ص: طراحی مطالعه؛ ا.ا: ایده، طراحی، نظارت بر حسن اجرای مطالعه و نگارش مقاله.

## سپاسگزاری

از مرکز تحقیقات نوروفیزیولوژی دانشگاه علوم پزشکی شهرید بهشتی جهت حمایت مالی این پژوهه تشکر به عمل می‌آید.

## تعارض در منافع

نویسندها این مقاله تعارض در منافع ندارند.

## فهرست منابع

- [1] Szabo I, Zoratti M, Mitochondrial channels: ion fluxes and more. *Physiol Rev* 94 (2014) 519–608.
- [2] Joseph AM, Joannis DR, Baillot RG, Hood DA, Mitochondrial dysregulation in the pathogenesis of diabetes: Potential for mitochondrial biogenesis-mediated interventions. *Exp Diabetes Res* (2012) 642038.
- [3] Noursadeghi E, Jafari A, Saghiri R, Sauve R, Eliassi A, Impairment of brain mitochondrial charybdotoxin- and ATP-insensitive BK channel activities in diabetes. *NeuroMolecular Med* 16 (2014) 862–871.
- [4] Fancher IS, Dick GM, Hollander JM, Diabetes mellitus reduces the function and expression of ATP-dependent K<sup>+</sup>channels in cardiac mitochondria. *Life Sci* 92 (2014) 664–668.
- [5] Katakam PVG, Jordan JE, Snipes JA, Tulbert CD, Miller AW, Busija DW, Myocardial preconditioning against ischemia-reperfusion injury is abolished in Zucker obese rats with insulin resistance. *Am J Physiol Regul Integr Comp Physiol* 292 (2007) R920–R926.
- [6] Eliassi A, Saghiri R, How many types of large conductance Ca<sup>2+</sup> activated potassium channels exist in brain mitochondrial inner membrane: evidence for a new mitochondrial large conductance Ca<sup>2+</sup> activated potassium channel in brain. *Neuroscience* 199 (2011) 125–132.
- [7] Fahanik-Babaei J, Eliassi A, Jafari A, Sauve R, Salari S, Saghiri R, Electro-pharmacological profile of a mitochondrial inner membrane big-potassium channel from rat brain. *Biochim Biophys Acta* 1808 (2011) 454–460.
- [8] Fahanik-babaei J, Jafari A, Eliassi A, Saghiri R, Evidences for a new cation channel in the brain mitochondrial inner membrane. *Physiol Pharmacol* 17 (2013) 80–93 [in Persian].
- [9] Zhang Q, Ramracheya R, Lahmann C, Tarasov A, Bengtsson M, Braha O, Braun M, Brereton M, Collins S, Galvanovskis J, Gonzalez A, Groschner LN, Rorsman NJ, Salehi A, Travers ME, Walker JN, Glyn AL, Gribble F, Johnson PR, Reimann F, Ashcroft FM, Rorsman P, Role of KATP channels in glucose-regulated glucagon secretion and impaired counterregulation in type 2 diabetes. *Cell Metab* 18 (2013) 871–882.
- [10] Islam MS, Choi H, Nongenetic model of type 2 diabetes: A comparative study. *Pharmacology* 79 (2007) 243–249.
- [11] Kudin AP, Bimpang-butu NY, Vielhaber S, Elger CE, Kunz WS, Characterization of superoxide-producing sites in isolated brain mitochondria. *J Biol Chem* 279 (2004) 4127–4135.
- [12] Da Cruz S, Xenarios I, Langridge J, Vilbois F, Parone PA, Martinou JC, Proteomic Analysis of the Mouse Liver Mitochondrial Inner Membrane *J Biol Chem* 278 (2003) 41566–41571.
- [13] Bradford MM, A rapid and sensitive method for the quantitation of microgram quantities of protein utilizing the principle of protein-dye binding. *Anal Biochem* 72 (1976) 248–254.
- [14] Mueller P, Rudin DO, Tien HT, Wescott WC, Reconstitution of cell membrane structure in vitro and its transformation into an excitable system. *Nature* 194 (1962) 979–980.
- [15] Su S, Kuo C, Liu C, Diabetes and Mitochondria. *The Changhua J Med* 11 (2013) 1–7.
- [16] Li S, Deng Z, Wei L, Liang L, Ai W, Shou X, Chen X, Reduction of large-conductance Ca<sup>2+</sup>-activated K<sup>+</sup> channel with compensatory increase of nitric oxide in insulin resistant rats. *Diabetes Metab Res Rev* 27 (2011) 461–469.
- [17] Lu T, Ye D, He T, Wang X, Wang H, Lee H, Impaired Ca<sup>2+</sup> dependent activation of large-conductance Ca<sup>2+</sup> activated K<sup>+</sup> channels in the coronary artery smooth muscle cells of Zucker diabetic fatty rats. *Biophys J* 95 (2008) 5165–5177.
- [18] Ru-xing W, Hai-feng S, Qiang C, Ying W, Wei S, Yuan J, Yong Y, Ku-lin L, Chang-ying Z, Jie Z, Su-xia G, Xiao-rong L, Tong L, Molecular mechanisms of diabetic coronary dysfunction due to large conductance Ca<sup>2+</sup>-activated K<sup>+</sup> channel impairment. *Chinese Med J* 125 (2012) 2548–2555.
- [19] Kulawiak B, Kudin AP, Szewczyk A, Kunz WS, BK channel openers inhibit ROS production of isolated rat brain mitochondria. *Exp Neurol* 212 (2008) 543–547.
- [20] Zaugg M, Lucchinetti E, Spahn DR, Pasch T, Schaub MC, Volatile anesthetics mimic cardiac preconditioning by priming the activation of mitochondrial K<sub>ATP</sub> channels via multiple signaling pathways. *Anesthesiology* 97 (2002) 4–14.

## Research paper

**Brain mitochondrial 93 pS cationic channel activities impaired in diabetic rats**Bahareh Rezaee<sup>1</sup>, Elham Noorsadeghi<sup>2</sup>, Reza Saghiri<sup>3</sup>, Afsaneh Eliassi<sup>1,4\*</sup>1. *Neurophysiology Research Center, Shahid Beheshti University of Medical Sciences, Tehran, Iran*2. *Neuroscience Research Center, Shahid Beheshti University of Medical Sciences, Tehran, Iran*3. *Department of Biochemistry, Pasteur institute of Iran, Tehran, Iran*4. *Department of Physiology and Neurophysiology Research Center, Medical school, Shahid Beheshti University of Medical Sciences, Tehran, Iran*

Received: 7 June 2015

Accepted: 21 June 2015

**Abstract**

**Background and aim:** Evidence indicates an impairment of mitochondrial functions and alterations in potassium channel activities in diabetes mellitus. This study was carried out to consider whether the biophysical properties of the mitochondrial 93 pS cationic channel are altered in diabetes.

**Methods:** Diabetes mellitus was induced in male Wistar rats (200-250 g) by single intraperitoneal injection of 45 mg/kg streptozotocin dissolved in 0.1 M citrate buffer (pH 4.5). The brain mitochondrial inner membranes were extracted and vesicles were incorporated into lipid bilayer membranes, and single potassium channel properties were evaluated. Purity of the cell fraction was also tested by Western blotting. Data were analyzed by Makov noise free single channel analysis.

**Results:** Based on our previous data, mitochondrial inner membrane has a potassium channel with a main conductance of 93 pS, which was 4-AP-sensitive and voltage-insensitive at -50 to +50 mV. Our data showed that channel conductance decreased to 48 pS and inwardly rectifying current voltage curve was altered to an ohmic behavior in vesicles of diabetic rats but there was no effect on channel open probability. Western blotting and antibodies directed against various cellular proteins revealed that the extracted material contains only mitochondria.

**Conclusion:** Our data showed that the biophysical properties (conductance) of potassium channel were significantly altered in diabetes. Based on these findings, we propose that the brain mitochondrial potassium channels are involved in diabetes, and it can be considered as a target for therapeutic plans.

**Keywords:** Diabetes, Lipid bilayer membrane, Mitochondria, Potassium channel

**Please cite this article as follows:**

Rezaee B, Noorsadeghi E, Saghiri R, Eliassi A, Brain mitochondrial 93 pS cationic channel activities impaired in diabetic rats. *Iran J Physiol Pharmacol* 1 (2017) 52-60.

\*Corresponding author e-mail: af.eliasi@sbmu.ac.ir  
Available online at: <http://ijpp.phypha.ir>  
E-mail: ijpp@phypha.ir